



ИПМ им.М.В.Келдыша РАН • Электронная библиотека

Препринты ИПМ • Препринт № 1 за 2009 г.



Гинзбург С.Л., Дьяченко В.Ф.,  
Палейчик В.В.

3D расчеты поглощения  
электромагнитной волны  
плазмой

**Рекомендуемая форма библиографической ссылки:** Гинзбург С.Л., Дьяченко В.Ф., Палейчик В.В. 3D расчеты поглощения электромагнитной волны плазмой // Препринты ИПМ им. М.В.Келдыша. 2009. № 1. 12 с. URL: <http://library.keldysh.ru/preprint.asp?id=2009-1>

ИНСТИТУТ ПРИКЛАДНОЙ МАТЕМАТИКИ  
им. М.В. КЕЛДЫША  
РОССИЙСКОЙ АКАДЕМИИ НАУК

С.Л. Гинзбург, В.Ф. Дьяченко, В.В. Палейчик

**3D РАСЧЕТЫ ПОГЛОЩЕНИЯ ЭЛЕКТРОМАГНИТНОЙ ВОЛНЫ  
ПЛАЗМОЙ**

Москва

S.L. Ginzburg, V.F. Dyachenko, V.V. Paleychik

3D COMPUTATIONS OF ABSORPTION OF AN ELECTROMAGNETIC  
WAVE BY PLASMA.

Abstract

Tree-dimensional computer code is considered plasma-field interaction in the frame of the equations of Maxwell – Vlasov. The absorption by electrons of the incident wave energy is calculated for the different tips vacuum-plasma boundary.

С.Л. Гинзбург, В.Ф. Дьяченко, В.В. Палейчик

3D РАСЧЕТЫ ПОГЛОЩЕНИЯ ЭЛЕКТРОМАГНИТНОЙ ВОЛНЫ  
ПЛАЗМОЙ

Аннотация

Трехмерная компьютерная модель взаимодействия плотной плазмы с электромагнитным полем в рамках уравнений Максвелла – Власова применена для расчета коэффициента поглощения плазмой энергии падающего потока при различных конфигурациях границы вакуум-плазма.

## Введение

Данная работа является продолжением работ [1] – [2], в которых влияние формы поверхности на процесс поглощения энергии волны плазмой численно исследуется в двумерной постановке.

### Постановка задачи

Взаимодействие электромагнитной волны с бесстолкновительной плазмой описывается системой уравнений Максвелла – Власова:

$$\begin{aligned} \frac{\partial \mathbf{E}}{\partial t} - \text{rot} \mathbf{B} + \int \mathbf{v}^+ f^+ d\mathbf{p} - \int \mathbf{v}^- f^- d\mathbf{p} &= 0, \\ \frac{\partial \mathbf{B}}{\partial t} + \text{rot} \mathbf{E} &= \mathbf{0}, \\ \frac{\partial f^\pm}{\partial t} + \mathbf{v}^\pm \frac{\partial f^\pm}{\partial \mathbf{x}} \pm (\mathbf{E} + [\mathbf{v}^\pm \times \mathbf{B}]) \frac{\partial f^\pm}{\partial \mathbf{p}} &= 0, \end{aligned}$$

где  $\mathbf{E}$  - напряженность электрического поля,  $\mathbf{B}$  - магнитная индукция,  $f^+$  и  $f^-$  - функции распределения ионов и электронов, соответственно.

Здесь и далее в качестве единиц измерения [\*] используются следующие: время  $[t] = 1/\omega$ ,  $\omega$  - круговая частота падающего излучения, расстояние  $[x] = c/\omega$ ,  $c$  - скорость света, поле  $[\mathbf{E}] = [\mathbf{B}] = mc\omega/e$ ,  $m$  и  $e$  - масса покоя и заряд электрона, концентрация  $[n = \int f d\mathbf{p}] = m\omega^2/4\pi e^2$ , импульс  $[\mathbf{p}] = mc$ , энергия  $[H = -\mu + (\mu^2 + \mathbf{p}^2)^{1/2}] = mc^2$ ,  $\mu = m^\pm/m$ , скорость  $[\mathbf{v} = \partial H/\partial \mathbf{p}] = c$ .

Падающая электромагнитная волна (излучение) – круговая поляризованная монохроматическая волна с постоянной амплитудой, распространяющаяся вдоль оси  $z$ :

$$E_x = B_y = a \cos(z-t), \quad E_y = -B_x = a \sin(z-t).$$

Полагая, что мощное электрическое поле волны ионизует поверхностный слой практически мгновенно, считаем плазму в начальный момент полностью ионизованной. В то же время пренебрежем имеющимся в ней тепловым движением, и будем считать ее холодной и неподвижной, так что функция распределения частиц в этот момент имеет вид:

$$f^\pm(0, x, y, z, p_x, p_y, p_z) = n_0(x, y, z) \delta(p_x) \delta(p_y) \delta(p_z).$$

Облучаемая плазма расположена в пространстве с  $z \geq 0$  и имеет бугорчатую поверхность. В расчетах участвовали бугорки двух видов: цилиндры и

параболоиды с круговым основанием и собственной осью в направлении оси координат  $z$ . На рис.1 представлены проекции плазмы на координатные плоскости  $(x,y)$ ,  $(x,z)$  и  $(y,z)$  для обоих типов бугорков.

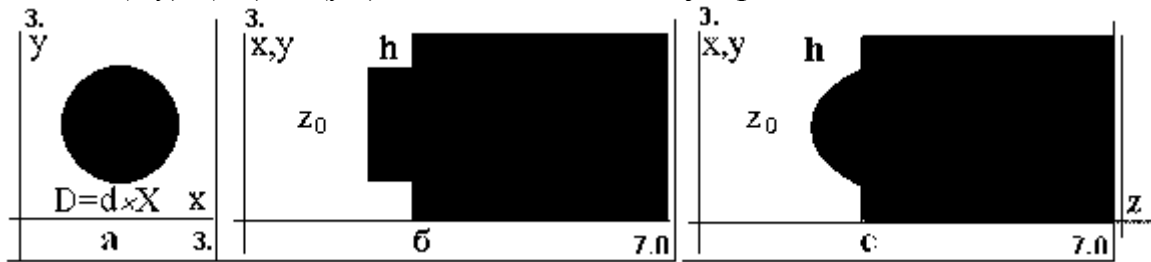


Рис.1 Проекция цилиндра (а, б) и параболоида (а, с) на координатные плоскости  $(x,y)$ ,  $(x,z)$  и  $(y,z)$  при  $t=0$ .

Плазма в начальный момент времени имеет периодическую структуру по осям  $x$  и  $y$ , которую она сохраняет и при  $t>0$ .

Функция  $n_0(x,y,z)$  описывает вид изображенного на рис.1 поверхностного слоя и имеет смысл концентрации частиц плазмы, одинаковой для ионов (протонов) и электронов при единичном заряде ионов, с выполненным условием квазинейтральности плазмы в начальный момент.

Параметрами задачи являются амплитуда волны  $a$ , начальная концентрация ионов и электронов  $n_0$ , характеристики начальной конфигурации плазмы:  $z_0$  – минимальное расстояние от плоскости  $z=0$  до границы выступа, относительный диаметр  $d$ , определяющий диаметр круга  $D = d \times X$  в основании выступа,  $h$  – высота выступа. Область расчета:  $0 < x < X$ ,  $0 < y < Y$ ,  $0 < z < Z$ .

Граничные условия задачи формулируются следующим образом :

$$E_x + B_y = 2a \cos t \quad \text{и} \quad E_y - B_x = -2a \sin t \quad \text{при} \quad z = 0,$$

что, очевидно, описывает заданную падающую волну с круговой поляризацией и допускает возможность отраженной от плазмы волны,

$$E_x - B_y = 0 \quad \text{и} \quad E_y + B_x = 0 \quad \text{при} \quad z = Z,$$

означающих отсутствие падающей извне волны в глубине плазмы.

Конечно, еще подразумеваются периодические граничные условия по осям  $x$  и  $y$ .

Основные принципы расчетного алгоритма, т.е. разностная схема для уравнений Максвелла и метод макрочастиц для уравнения Власова изложены в работах [3,4].

## 2. Результаты расчета

В данном разделе все результаты приводятся в указанных выше единицах измерения.

Основным результатом каждого варианта расчета является, очевидно, набранная электронами к моменту времени  $t$  кинетическая энергия

$$W(t) = \int_0^X dx \int_0^Y dy \int_0^Z dz \int H f d\mathbf{p}.$$

Варианты характеризуются средним по времени значением доли  $\kappa$  поглощаемой электронами энергии падающей волны  $U(t)$  ( $\kappa(t) = W(t)/U(t)$ , где  $U(t) = (a^2 \times X \times Y \times t)$ ).

В описываемых вариантах начальная концентрация ионов и электронов плазмы постоянна,  $n_0 = 10$ . Масса иона  $\mu^+ = 1837$ . Амплитуда волны  $a = 0.01$ . Расстояние от плоскости  $z = 0$  до нижней границы выступа –  $z_0 = 2$ ,  $Z = 7$ .

В первой серии расчетов бугорок представляет собой круглый цилиндр, который расположен в ячейке размером  $X \times Y \times Z$  и характеризуется относительным диаметром  $d$  и высотой выступа  $h$ .

В дальнейших расчетах в качестве основного варианта выбран вариант с параметрами:  $X = Y = 3$ ,  $d = 0.6$ ,  $h = 0.8$ .

Значения энергии  $W(t)$  и коэффициента поглощения  $\kappa$  в зависимости от значения одного из этих параметров на рис.2 – 5 получены в предположении, что другие параметры остаются неизменными.

На рис.2а и 2б показана зависимость от времени кинетической энергии электронов  $W(t)$  для трех вариантов, отличающихся значением  $d$  (2а) и для трех вариантов, различающихся значением  $h$  (2б), при прочих равных условиях.

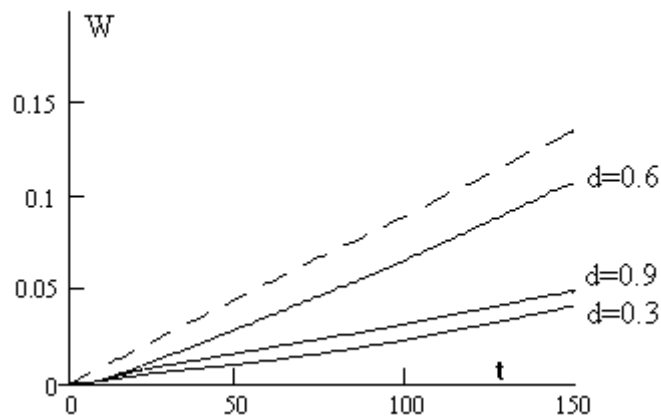


Рис.2а Кинетическая энергия электронов  $W(t)$  для значений  $d = 0.3, 0.6, 0.9$  (пунктиром отмечена энергия падающей волны  $U(t)$ ).

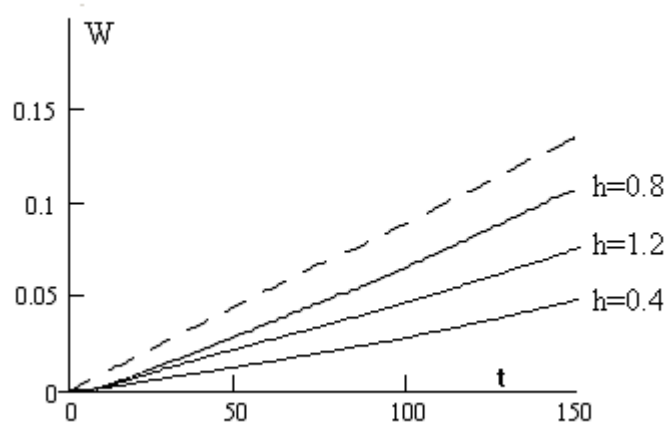


Рис.2б Кинетическая энергия электронов  $W(t)$  для значений  $h = 0.4, 0.8, 1.2$  (пунктиром отмечена энергия падающей волны  $U(t)$ ).

На рис.3 – 4 приводятся зависимости коэффициента поглощения  $k$  от значения относительного диаметра  $d$  или высоты выступа  $h$ , при прочих равных условиях.

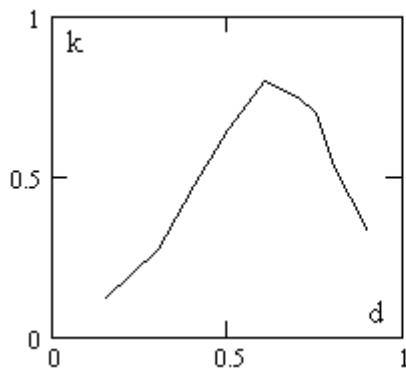


Рис.3 Зависимость  $\kappa(d)$   
( $X = Y = 3, h = 0.8$ )

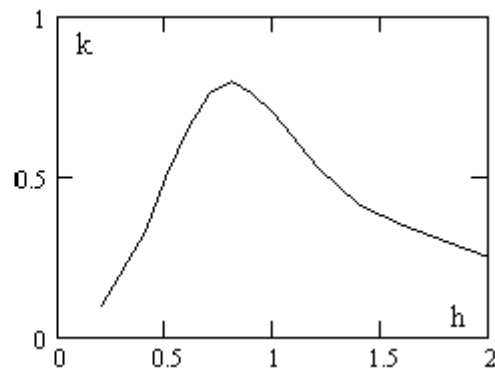


Рис.4 Зависимость  $\kappa(h)$   
( $X = Y = 3, d = 0.6$ )

Как показывают графики, по обоим рассматриваемым параметрам существует некоторая область оптимальных значений  $d$  и  $h$ ; максимальная интенсивность поглощения энергии  $\kappa = 0.8$  достигается при  $d = 0.6$  и  $h = 0.8$ .

При падении волны на плоскую поверхность  $\kappa = 0$  – имеет место практически полное отражение, как и следовало ожидать [1].

Очевидно, значения  $d$  и  $h$  влияют на коэффициент поглощения  $k$ : чем меньше  $d$  и  $h$ , тем ближе поверхность плазмы к плоской, тем больше доля отраженной волны и меньше  $k$ ; чем больше относительный диаметр  $d$ , тем также поверхность плазмы ближе к плоской и  $k$  снова становится меньше, но есть предел; с увеличением  $h$  величина  $k$  опять уменьшается.

На рис.5 дается зависимость величины  $\kappa$  от периода  $X = Y$ .

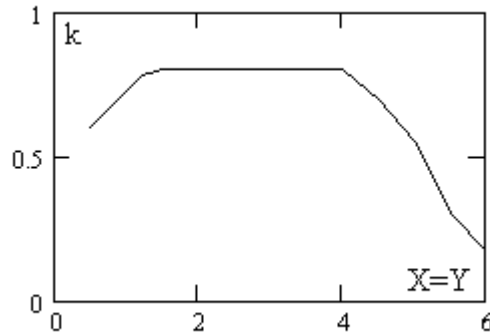


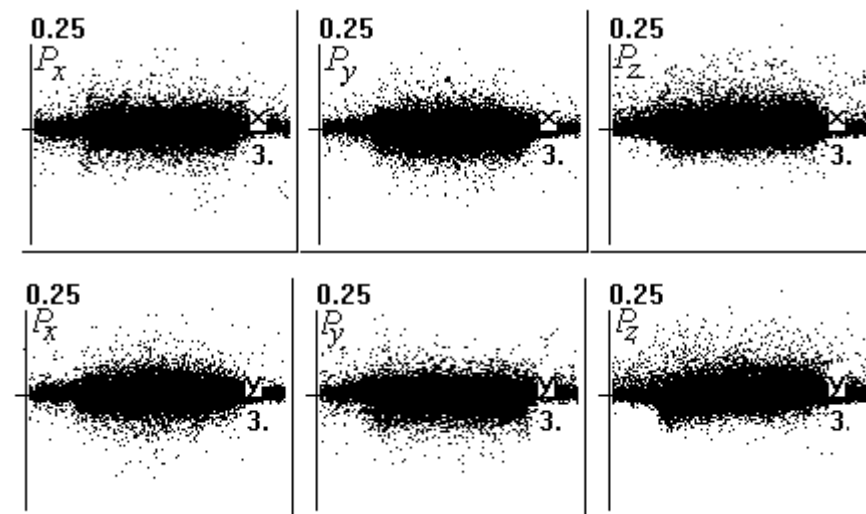
Рис.5 Зависимость коэффициента поглощения  $\kappa$  от периода  $X = Y$  ( $d = 0.6$ ,  $h = 0.8$ ).

Итак, видно, что максимум  $\kappa = 0.8$  получается при значениях параметров  $d = 0.6$ ,  $h = 0.8$ ,  $1.2 < X = Y \leq 4$ .

Общее свойство выступов при указанных выше оптимальных значениях параметров – относительно удлиненные по высоте и сравнительно тонкие цилиндры. Зависимость от значений  $X = Y$  (линейного размера одного периода структуры) невелика в данных пределах. Такие выступы, однако, неестественны при случайном происхождении бугорков поверхности, для которых, кажется, более естественно примерное равенство  $d \times X \sim 2h \sim X/2 \sim Y/2$ . Оно и выполняется в действительности.

Энергия электронной компоненты  $W$  растет, главным образом, за счет вовлечения в процесс новых электронов. Это можно видеть при сравнении между собой фазовых портретов электронов на моменты времени  $t = 50$  и  $t = 100$ , вдоль всех координатных осей.

На рис.6(а, б) показаны все фазовые портреты электронов на два момента времени  $t = 50$  и  $t = 100$  в основном варианте расчета ( $X = Y = 3$ ,  $d = 0.6$ ,  $h = 0.8$ ).



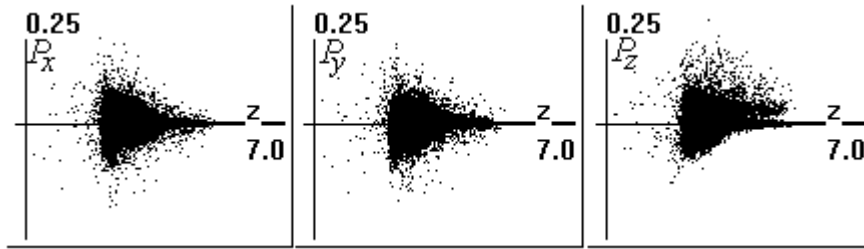


Рис.6а Проекция фазовых портретов  $p_x, p_y, p_z$  электронов,  $t = 50$ .

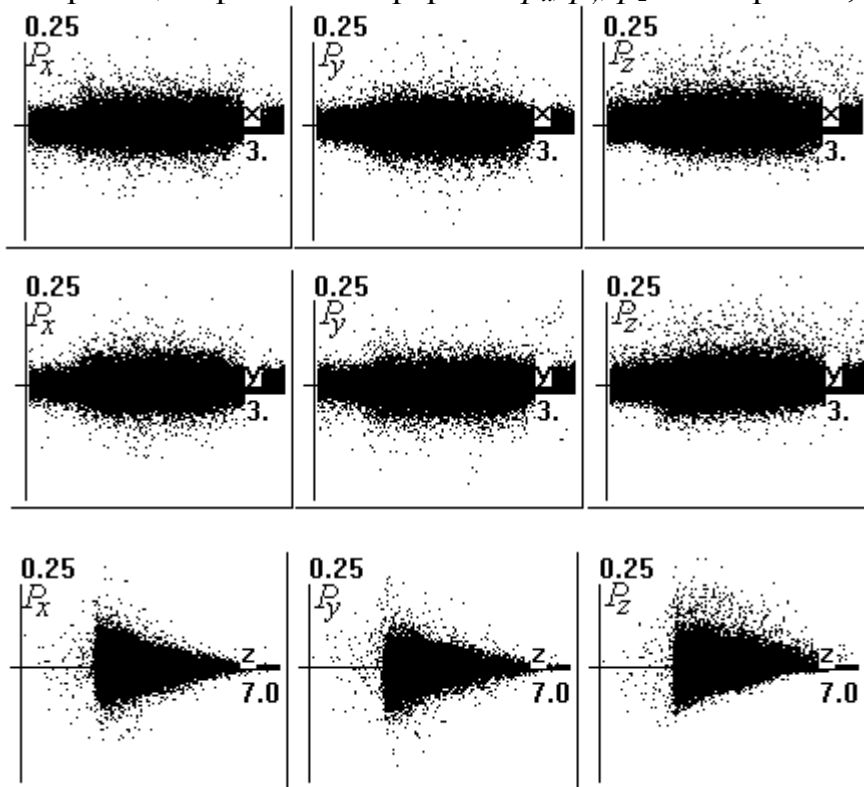


Рис.6б Проекция фазовых портретов  $p_x, p_y, p_z$  электронов,  $t = 100$ .

Обращают на себя внимание: 1) почти полное сходство всех трех ( $p_x, p_y, p_z$ ) проекций фазовых портретов вдоль осей  $x$  и  $y$  на один и тот же момент времени, что естественно; 2) расширение во времени областей  $p_x, p_y, p_z \neq 0$  вдоль оси  $z$  с заметным сужением конусообразных облаков с ростом  $z$ ; 3) некоторое увеличение предела модулей импульсов по сравнению с двумерным расчетом ( $\sim 0.3$  вместо  $0.1$  для  $|p|$ ); 4) для компоненты  $p_z$  отчетливо видна асимметрия в виде примерно двукратного превосходства положительных значений импульса над отрицательными; 5) некоторый рост максимальных значений всех импульсов при сравнении обоих моментов времени в пользу  $t = 100$ . Последнее означает, что рост энергии плазмы происходит не только за счет вовлечения новых электронов, но и возрастания удельных энергий.

На рис.7 показана кинетическая энергия ионной компоненты (вариант  $X = Y = 3, d = 0.6, h = 0.8$ ). Она почти на два порядка меньше электронной и появляется позже.

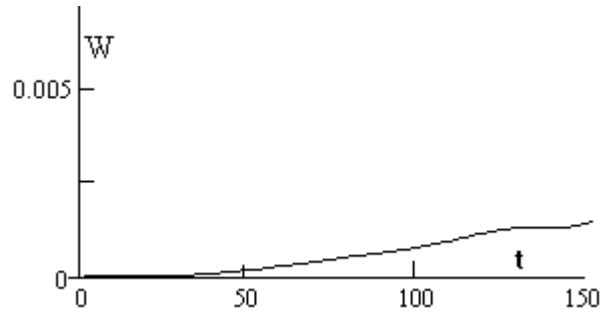
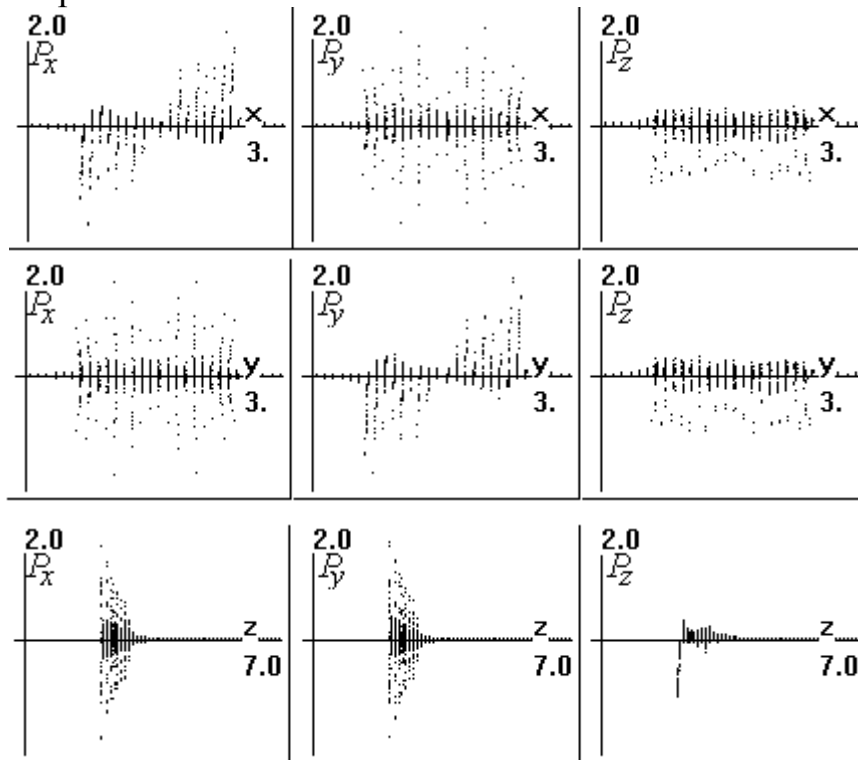


Рис.7 Кинетическая энергия ионов.

На рис.8 изображены проекции фазовых портретов ионов в момент  $t = 100$  для этого же варианта.

Рис.8 Проекция фазовых портретов  $p_x$ ,  $p_y$ ,  $p_z$  ионов,  $t = 100$ .

Импульс ионов монотонно растет и к моменту  $t = 100$   $\max|p|$  достигает 3.

Все предыдущее относилось к случаю  $a = 0.01$ . Зависимость коэффициента поглощения  $\kappa$  от амплитуды волны электромагнитного поля представлена в таблице 1 ( $X = Y = 3$ ,  $d = 0.6$ ,  $h = 0.8$ ).

Таблица 1  $\kappa(a)$ .

$a$	$\kappa$
0.0001	.45
0.0005	.70
0.001	.80
0.01	.80
0.02	.80

Заметим, что при малых амплитудах предположение о полной ионизованности плазмы может оказаться сомнительным.

На рис.9(а, б) приведены фазовые портреты электронов на два момента времени  $t = 100$  и  $t = 150$  в варианте с параметрами:

$$a = 0.02, z_0 = 2, X = Y = 3, Z = 15, d = 0.6, h = 0.8.$$

Этот вариант расчета отличается от основного значениями амплитуды  $a$  электромагнитного поля и граничным значением  $Z$ , увеличенным почти вдвое.

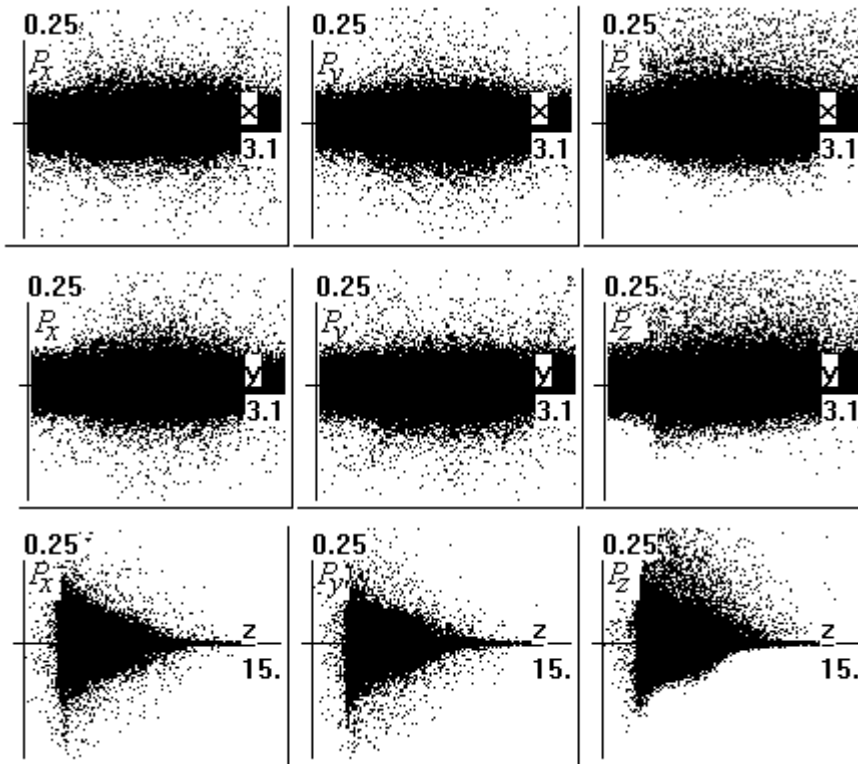


Рис.9а Проекция фазовых портретов  $p_x, p_y, p_z$  электронов,  $t = 100$ .

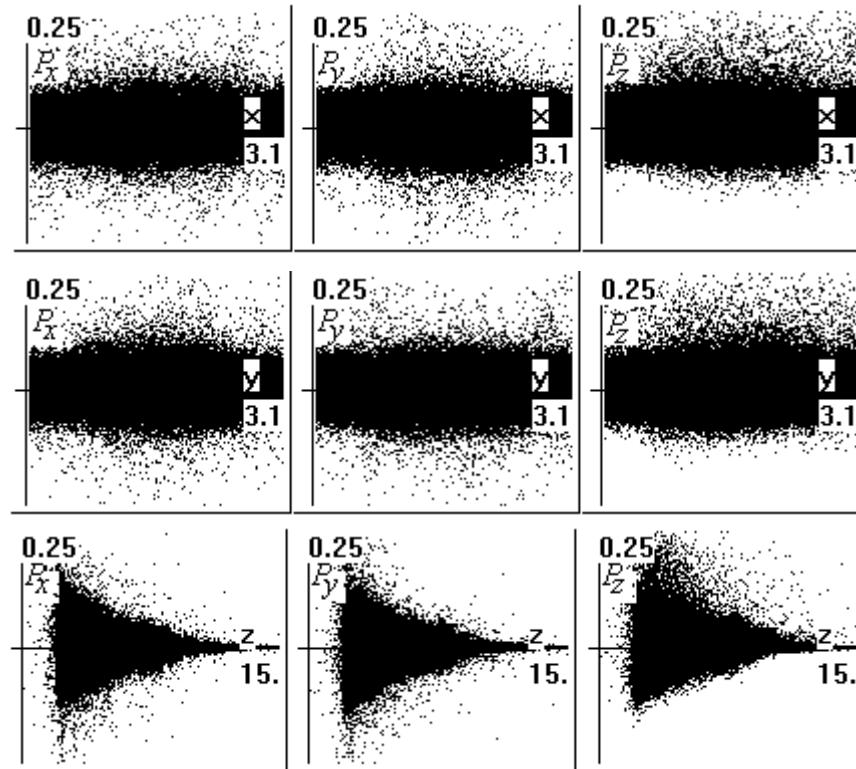


Рис.9б Проекция фазовых портретов  $p_x, p_y, p_z$  электронов,  $t = 150$ .

В этом варианте, также как и в основном, коэффициент поглощения  $k = 0.8$ .

Следует сравнить между собой фазовые портреты на рис.6б и рис.9а. Помимо увеличения глубины проникновения электромагнитного поля почти вдвое, обращает на себя внимание увеличение не только средних импульсов электронов (граница плотного облака электронов), что естественно для увеличенной в два раза амплитуды электромагнитной волны, а и заметное возрастание импульсов так называемых «горячих» электронов, в особенности компоненты  $p_z$  (полный импульс электронов  $|\mathbf{p}|$  становится уже около  $0.45!$ ). Это находит подтверждение на рис.9б, где еще заметнее последний эффект.

Во второй серии расчетов бугорки имеют форму параболоида с круговым основанием, максимальная высота которого –  $h$ . В таблице 3 приведены значения коэффициента поглощения  $\kappa$  для бугорков цилиндрической формы  $\kappa_c$  и в форме параболоида  $\kappa_p$  (при прочих равных условиях основного варианта расчета т.е.  $a = 0.01, z_0 = 2, X = Y = 3, Z = 7, d = 0.6, h = 0.8$ ).

Таблица 3

$h$	$\kappa_c$	$\kappa_p$
.8	.8	.15
1	.7	.2
2	.25	.4

## Литература

1. В.Ф.Дьяченко, В.С. Имшенник. Об аномальном взаимодействии мощных световых потоков с плотной плазмой. // Физика плазмы. 1979, Т. 5, Вып. 4.
2. С.Л. Гинзбург, В.Ф.Дьяченко, В.С. Имшенник, В.В. Палейчик. Об аномальном поглощении световых потоков плотной плазмой. // ВАНТ, серия: Теоретическая и прикладная физика, 2007, Вып. 2-3.
3. В.Ф.Дьяченко. О расчетах задач бесстолкновительной плазмы. // ЖВМ и МФ. 1985, № 4.
4. В.Ф.Дьяченко. Десять лекций по физической математике. // Издательство «Факториал», г. Москва, 1997.

Введение .....	3
§1 Постановка задачи .....	3
§2 Результаты расчета .....	4
Литература .....	12